

Kern- und Teilchenphysik SS2012

Di, 24. 4. 12

Johannes Blümer

KIT-Centrum Elementarteilchen- und Astroteilchenphysik KCETA



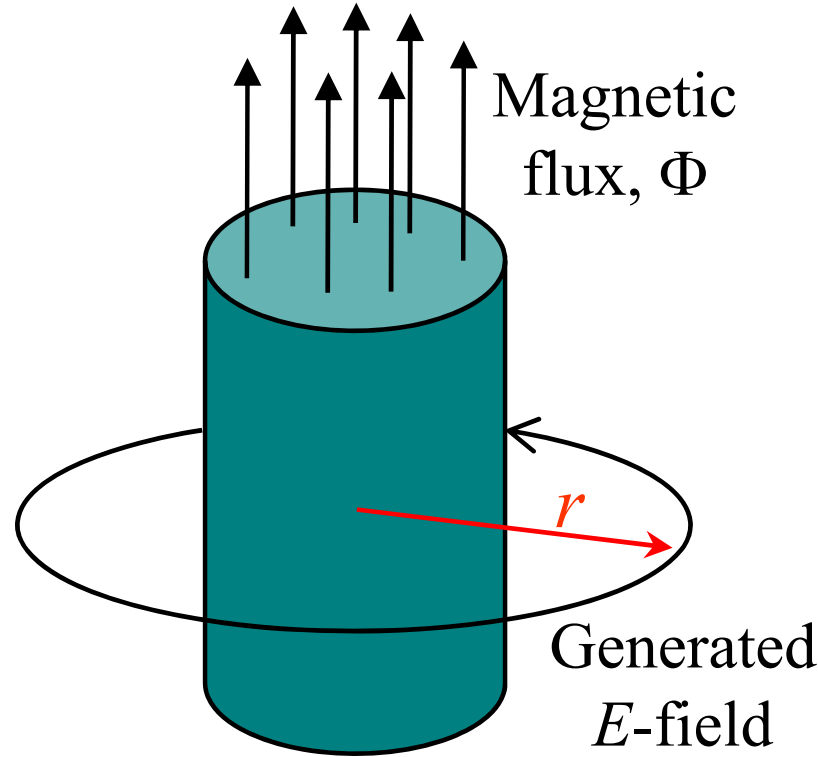
Inhalt

<http://www.auger.de/~rulrich/lehre/kerneteilchen2012/index.html>

- 1) Di 17. April **Übersicht, Notation, Kinematik**
Inhaltsverzeichnis, Übungsbetrieb, Literatur, Notationen, Tour de Force, relativistische Kinematik
- 2) Do 19. April **Beschleuniger**
HV-Erzeugung, stat. Generatoren, Linearbeschleuniger, zykl. Beschleuniger, Kollider, kosm. Beschleuniger
- 3) Di 24. April **Detektoren 1**
Wechselwirkung von Teilchen und Strahlen mit Materie; experimentelle Methoden
- 4) Do 26. April **Detektoren 2**
Detektorbaukasten; Grossdetektoren; andere Anwendungen
- Di 1. Mai **Tag der Arbeit**
- 5) Do 3. Mai **Atomkerne 1**
Streuversuche, Entdeckung der Atomkerne, Rutherford; Eigenschaften stabiler Kerne
- 6) Di 8. Mai **Atomkerne 2**
Masse, Bindungsenergie, Form von Kernen; Kernkräfte und Kernmodelle
- 7) Do 10. Mai **Kernreaktionen 1**
Spontane Zerfälle (Alpha, Beta, Gamma-Zerfälle);
- 8) Di 15. Mai **Kernreaktionen 2**
induzierte Kernspaltung, Kerntechnik; Kernfusion
- Do 17. Mai **Himmelfahrt**
- 9) Di 22. Mai **Kernphysik im Universum**
Elementsynthese im Urknall; ~ in Sternen, Sternentwicklung, Supernovae; Kosm. Strahlung
- 10) Do 24. Mai **Nukleonen 1**
Elastische Streuung, Formfaktoren, Ladungsradien
- 11) Di 29. Mai **Nukleonen 2**
Tiefinelastische Streuung, angeregte Zustände von Nukleonen, Strukturfunktionen, Partonen, Quarks
- 12) Do 31. Mai **Quarks, Gluonen, Hadronen**
Quarkstruktur der Nukleonen, Quarks in Hadronen, qg-WW, Skalenverhalten

Betatron

Jones



$$\text{not } \vec{E} = - \frac{\partial \vec{B}}{\partial t}$$

$$\oint \vec{E} d\vec{l} = - \frac{d}{dt} \oint \vec{B} d\vec{A}$$

$$2\pi r E = - \frac{d\Phi}{dt}$$

$$B = - \frac{P}{q r} \quad \text{für horiz. Radius}$$

$$\dot{B} = - \frac{P}{q r} = \frac{E}{\pi r} = \frac{1}{2\pi r^2} \frac{d\Phi}{dt}$$

$$\Rightarrow \Phi(r, t) = \frac{1}{2} \underbrace{\frac{1}{\pi r^2} \int B dA}_{= \text{mittl. Feld}}$$

"Betatron-Bedingung"

University of
Melbourne
Betatron part of a
35M Volt electron
accelerator used in
nuclear research
between 1959-
1989.

Jones



Microtron

↓
ANKA

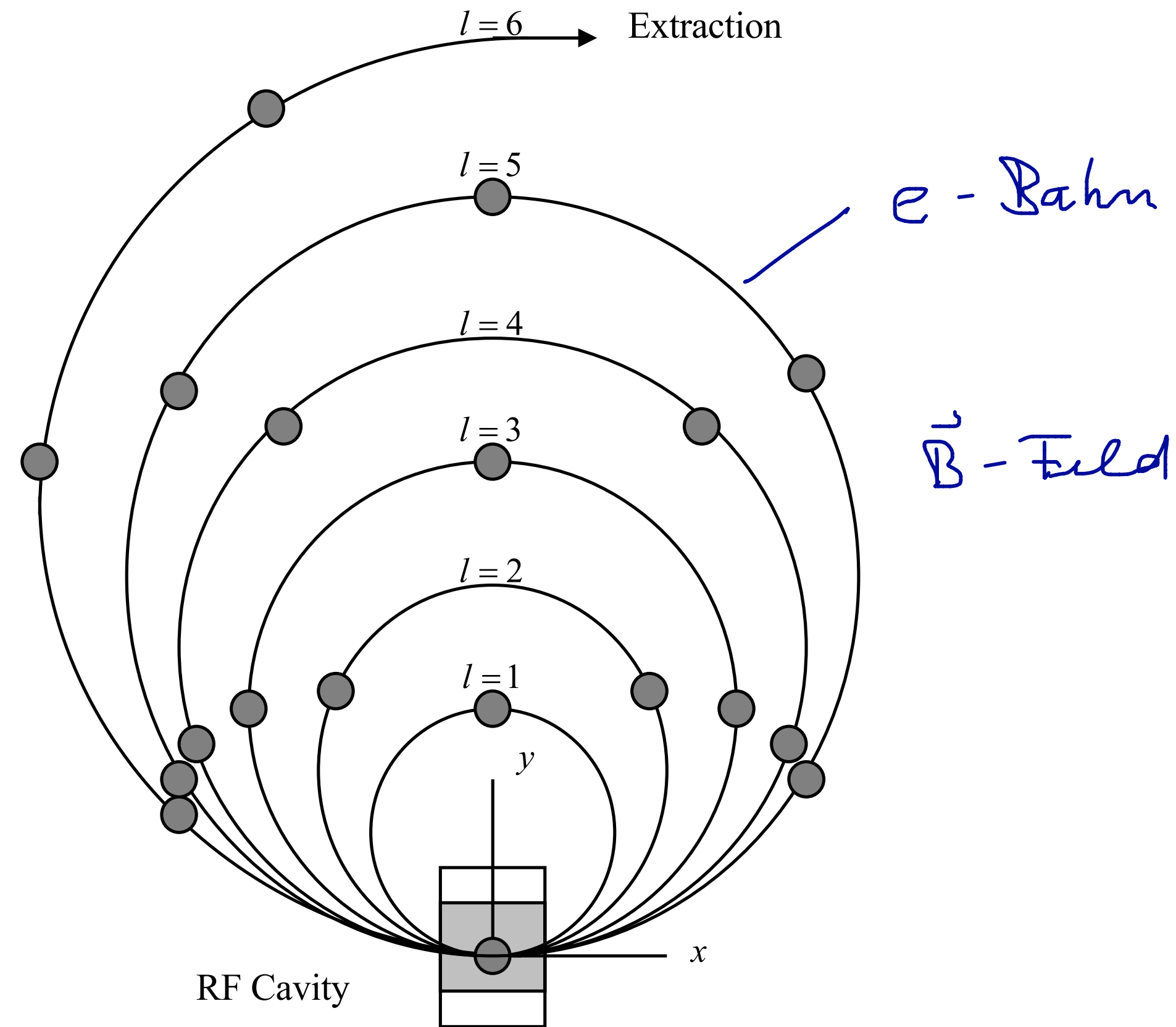
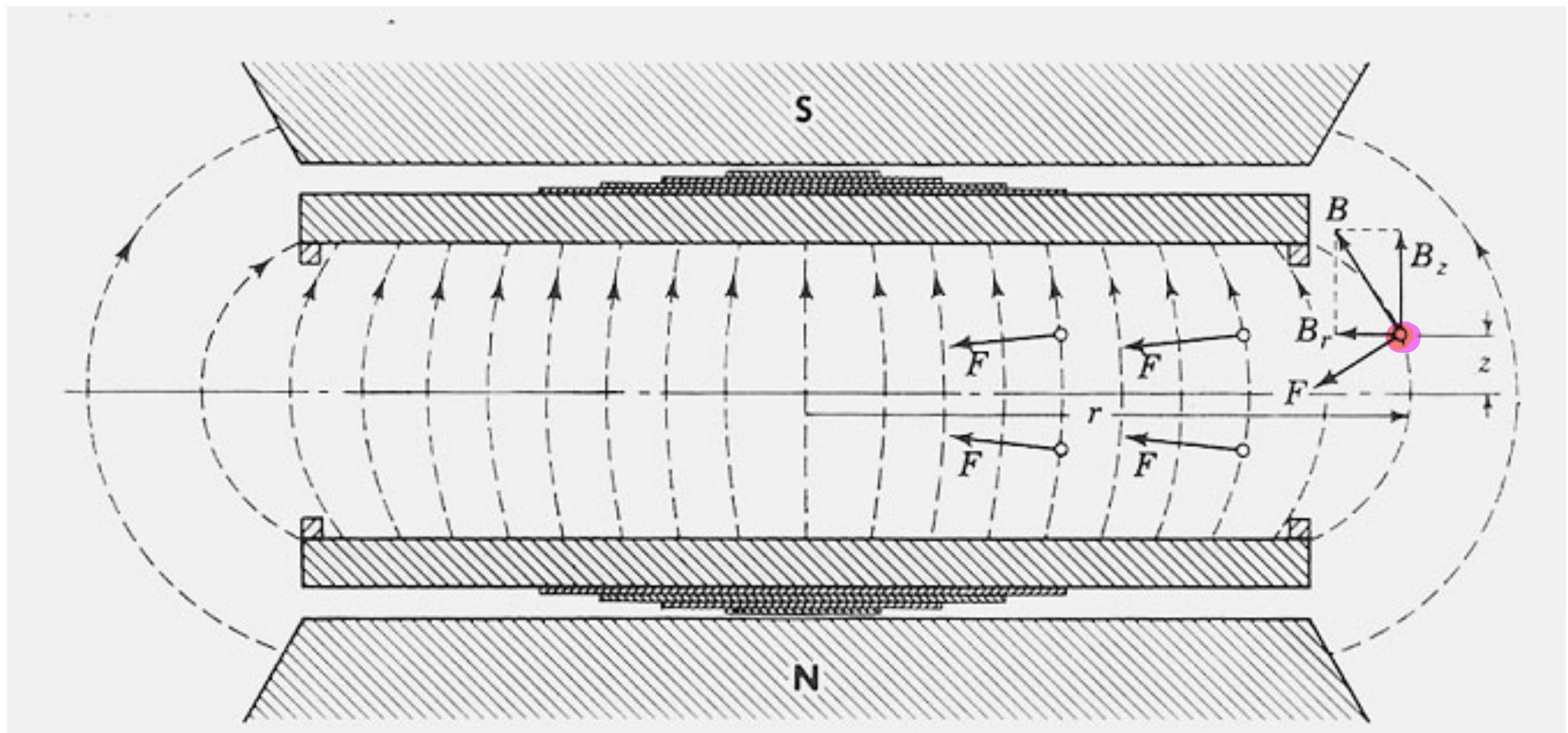


Figure 8: Basic principle of a microtron.

schwache Fokussierung



$$q \mathcal{B}_v = \frac{m \mathcal{J} v^2}{r} > \frac{m g v^2}{r} \text{ für } r > r_c \rightarrow \text{horiz. Rücksstellkraft} \checkmark$$

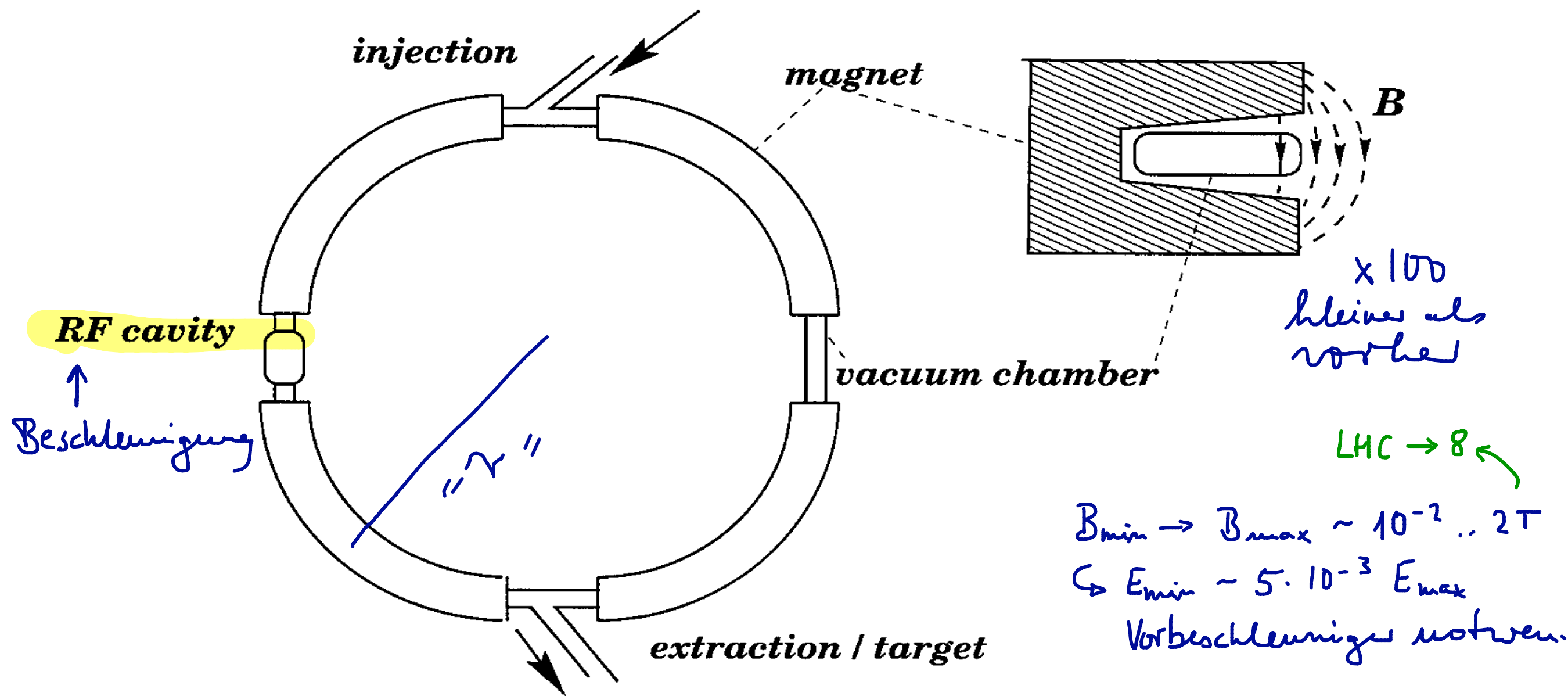
L Solobahn

Vertikale Stabilität

$$\text{für } 0 < m = -\frac{g}{B} \frac{dB}{d\varphi} < 1$$

n Feldindex

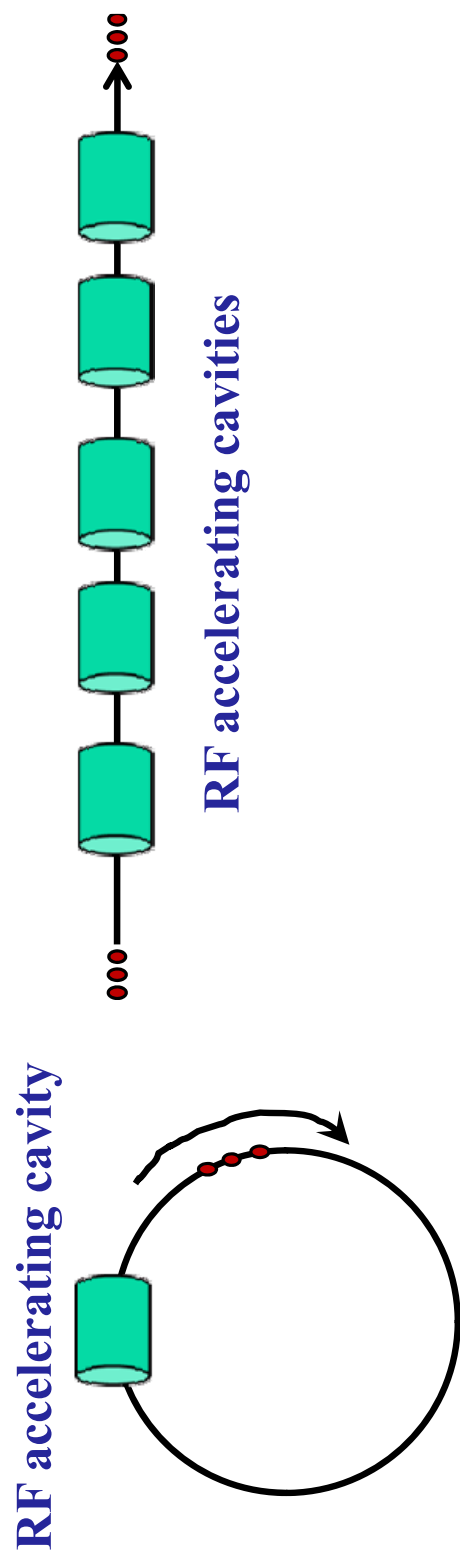
Synchrotron



$\gamma = \text{Kons.}$

$$\omega(B) = qB/m \sqrt{1 + \frac{q^2 B^2 R^2}{m^2 c^2}} \rightarrow \dot{\omega} = \frac{q}{m \gamma^3} \quad \begin{array}{l} \text{erst schnelle, dann} \\ \text{langsame And. von } \omega \end{array}$$

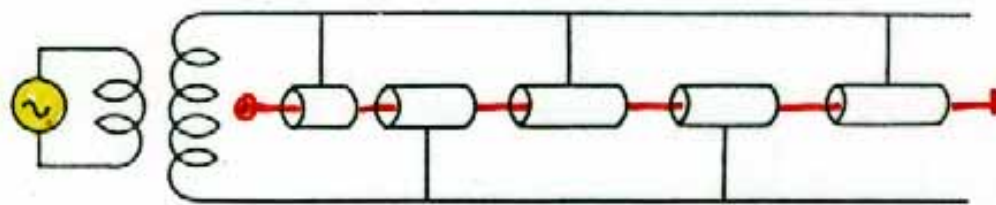
Linearbeschleuniger



RF accelerating cavity

Wideröe-Linac : Driftröhren = Elektroden
 $L \text{ Länge } l_i = \frac{\beta c \lambda_n}{2}$

$U_0 \sin \omega t$

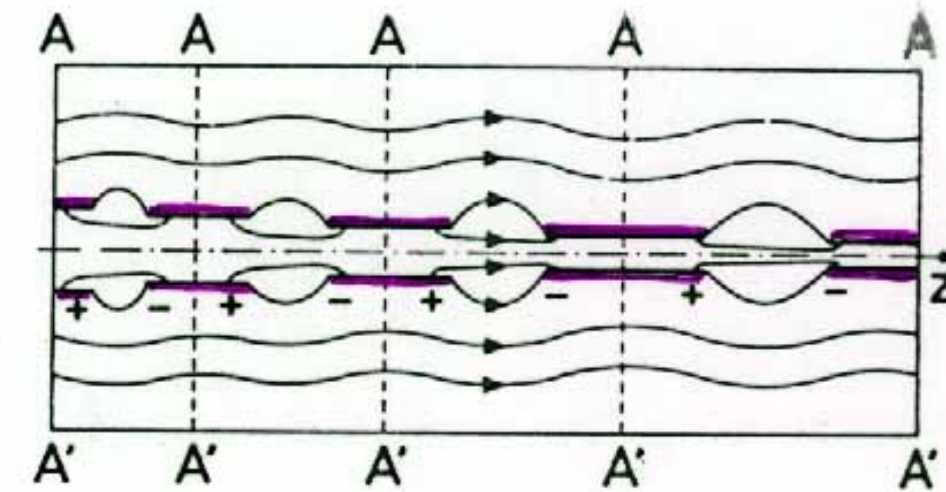


ok für $\beta \ll 1$

[Sep. FIG. 1.] The Sloan-Lawrence accelerator, which is typical of all linear accelerators with drift tubes.

[Daniel]

Alvarez-Struktur,
"Momentaufnahme",
Feld zwischen zwei
Driftröhren für
positive Teilchen in
z-Richtung beschleuni-
gend. Die Linien
 $A-A'$ deuten die mög-
liche Unterteilung
in einzelne Hohl-
räume an.



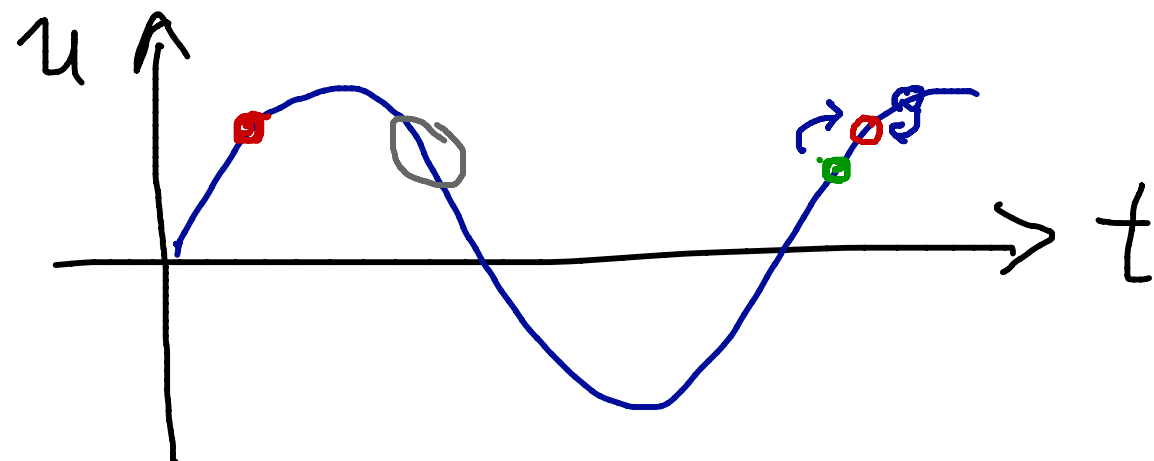
Eine einzige stehende Welle
 TM_{010} , Abschirmung durch
Driftröhren der Länge $\beta\lambda$ oder
 $\beta\lambda/2$
ok für $\beta \lesssim 0.4$

SLAC, Stanford

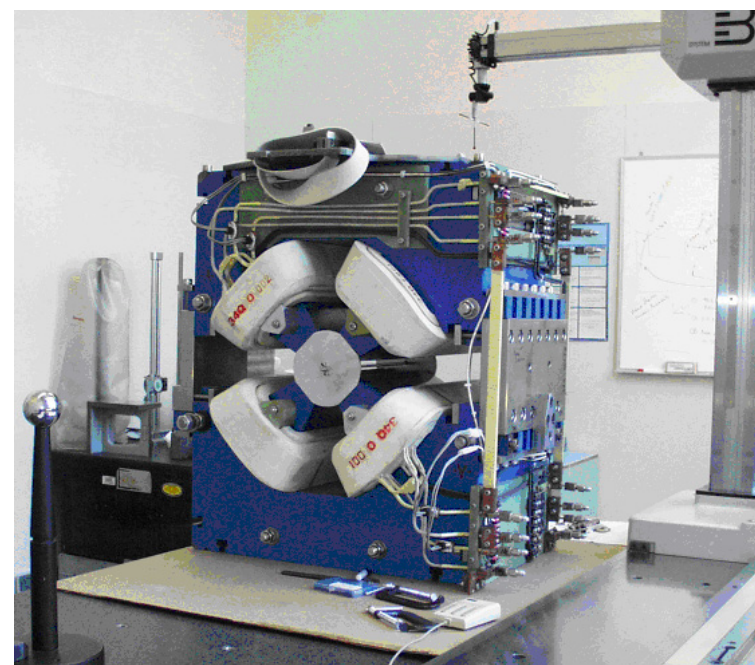
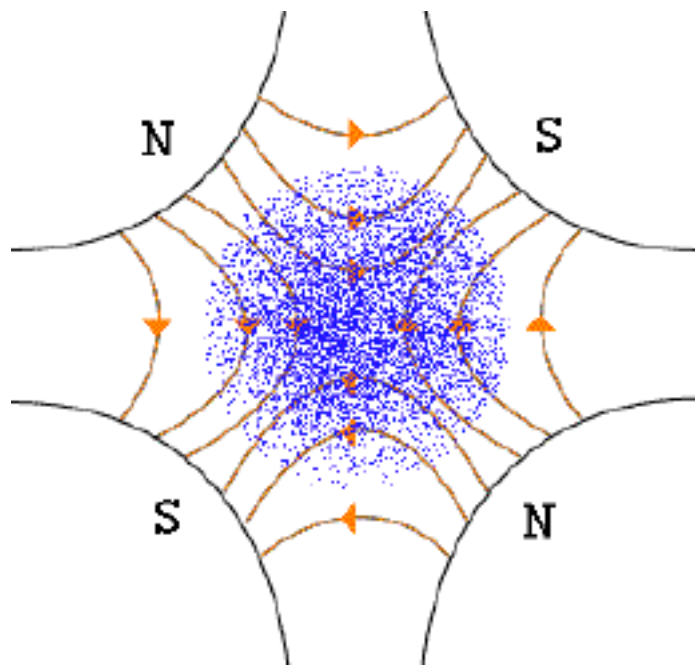


Teilchenoptik und Phasenstabilität

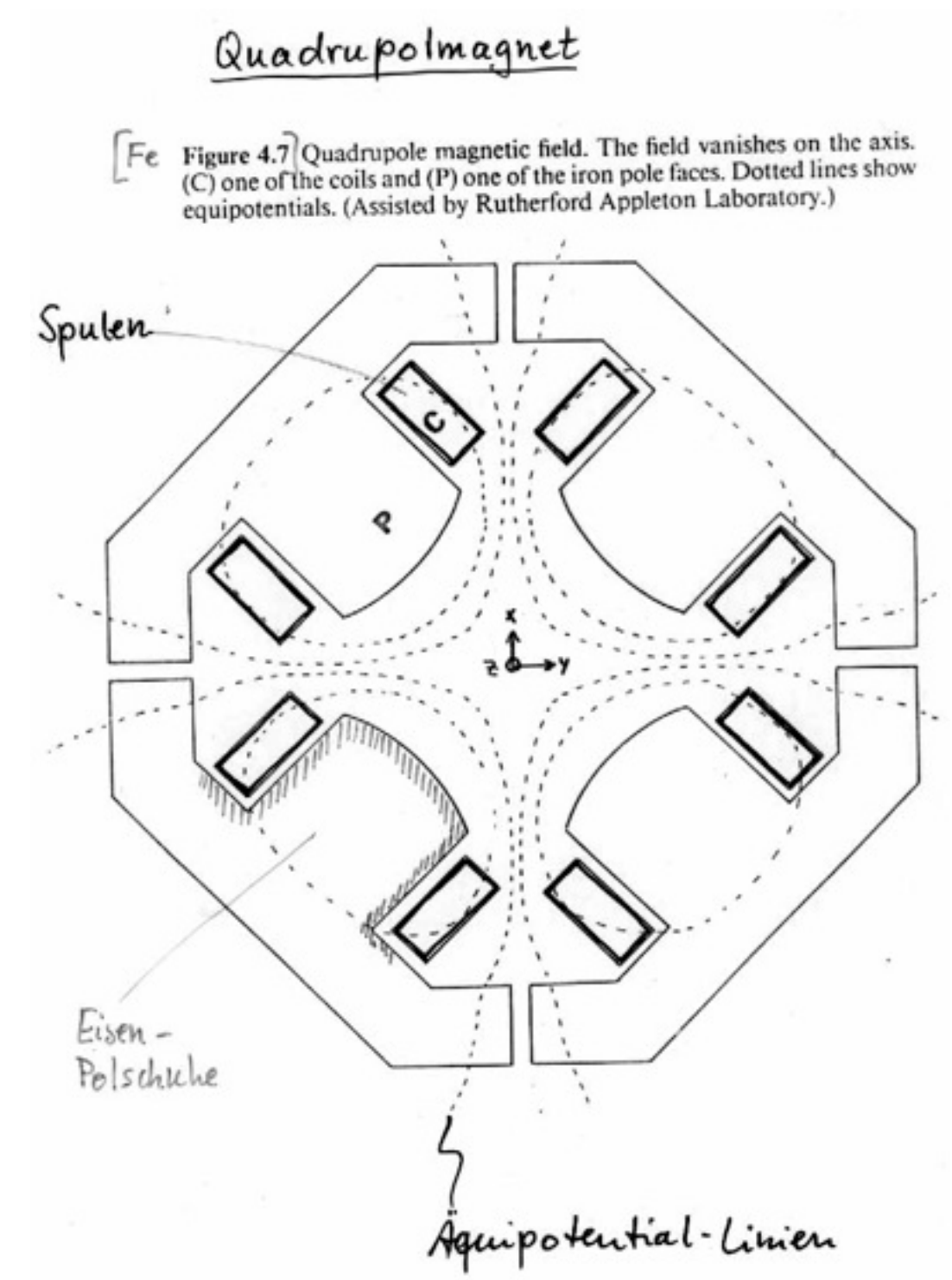
Phasen $\Rightarrow \mathbb{B}$ im Linac



Teilchenstrahl (x, x')
Phasenraumell.
Liouville gilt!



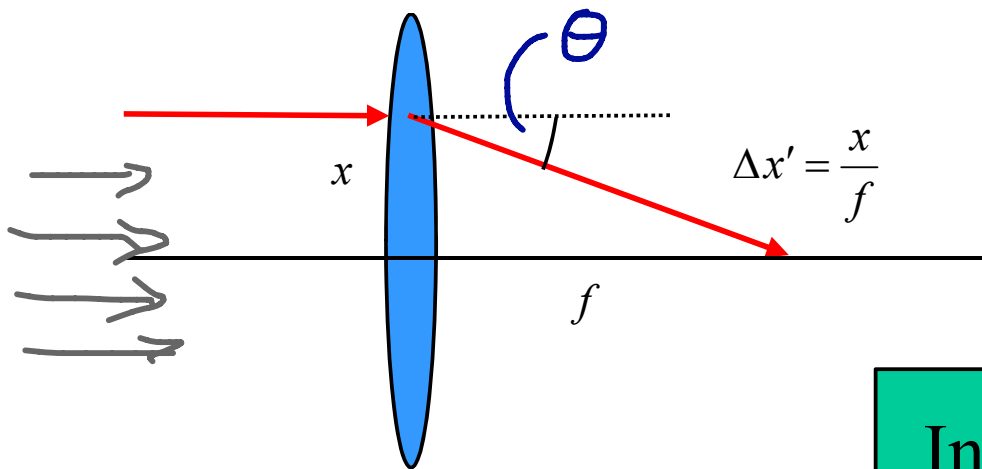
SLAC quadrupole



“FODO” – Fokussierung

starke Fokussierung $n \gg 1$

Dipol zur Ablenkung $\Theta = \frac{e}{BR} \int_{\text{Mag}} B dl$



Effect of a focussing thin lens can be represented by a matrix

$$\begin{pmatrix} x \\ x' \end{pmatrix}_{\text{out}} = \begin{pmatrix} 1 & 0 \\ -\frac{1}{f} & 1 \end{pmatrix} \begin{pmatrix} x \\ x' \end{pmatrix}_{\text{in}}$$

In a drift space of length ℓ , x' is unaltered but $x \rightarrow x + \ell x'$

$$\begin{pmatrix} x \\ x' \end{pmatrix}_{\text{out}} = \begin{pmatrix} 1 & \ell \\ 0 & 1 \end{pmatrix} \begin{pmatrix} x \\ x' \end{pmatrix}_{\text{in}}$$

In an F-drift-D system, combined effect is....

$$\begin{pmatrix} 1 & 0 \\ \frac{1}{f} & 1 \end{pmatrix} \begin{pmatrix} 1 & \ell \\ 0 & 1 \end{pmatrix} \begin{pmatrix} 1 & 0 \\ -\frac{1}{f} & 1 \end{pmatrix} = \begin{pmatrix} 1 - \frac{\ell}{f} & \ell \\ -\frac{\ell}{f^2} & 1 + \frac{\ell}{f} \end{pmatrix}$$

D O F \Rightarrow FODO

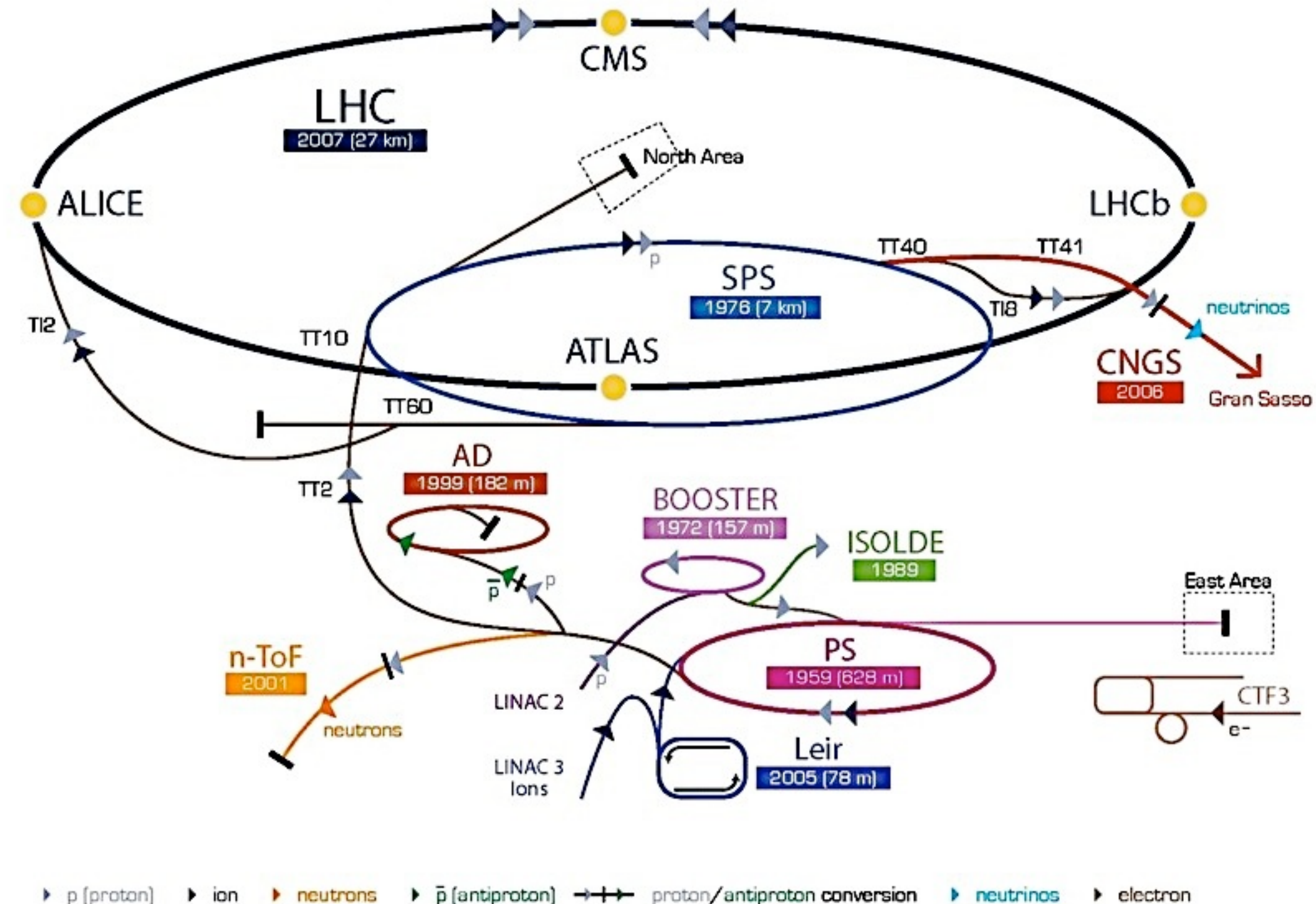
Kollider: e^+e^- , ep , $p(\bar{p})p$

Teilchen mit Energie E auf fester Target : $W_{CMS} = \sqrt{s} = \sqrt{2E}$
Teilchenkollisionen : $W_{CMS} = \sqrt{s} = E_1 + E_2$ für "punkt förmige" Störe

e^+e^-	DESY, LEP, SLC	multipl. Störe
$e p$	HERA	e als Sonde für die p -Struktur
$p \bar{p}$	SPS	$q \bar{q}$
$p p$	ISR, Tevatron, LHC	$q q$ } andere Physik

"Kühlung": Beispiel \bar{p} Verbesserung der Eigenschaften des Strahls
Simon von der Meer
Nobelpreis!

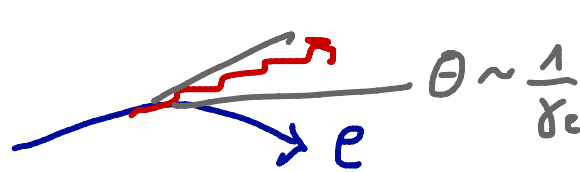
CERN Accelerator Complex



LHC Large Hadron Collider SPS Super Proton Synchrotron PS Proton Synchrotron

AD Antiproton Decelerator CTF3 Clic Test Facility CNGS Cern Neutrinos to Gran Sasso ISOLDE Isotope Separator OnLine DEvice
LEIR Low Energy Ion Ring LINAC LINear ACcelerator n-ToF Neutrons Time Of Flight

Synchrotronstrahlung



E_y geht dem e verloren

pro Umlauf:

$$\delta E (\text{MeV}) = 9 \cdot 10^{-2} \frac{(E/\text{GeV})^4}{R/\text{m}}$$

LEP @ 86 GeV :

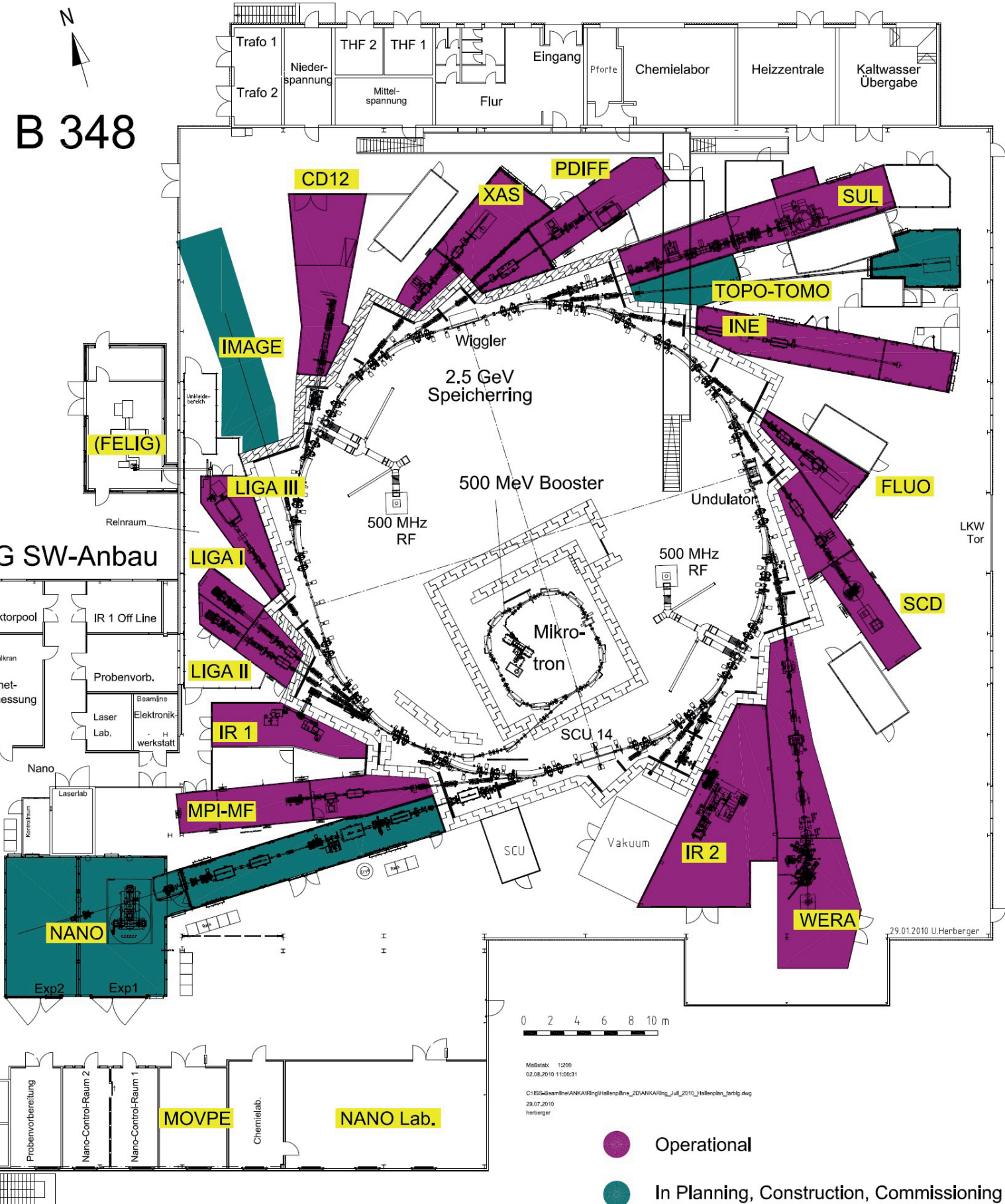
$\delta E = 1.4 \text{ GeV}$ pro Elektron

$6 \cdot 10^{12} e/\text{Strahl} \rightarrow 20 \text{ MW}$

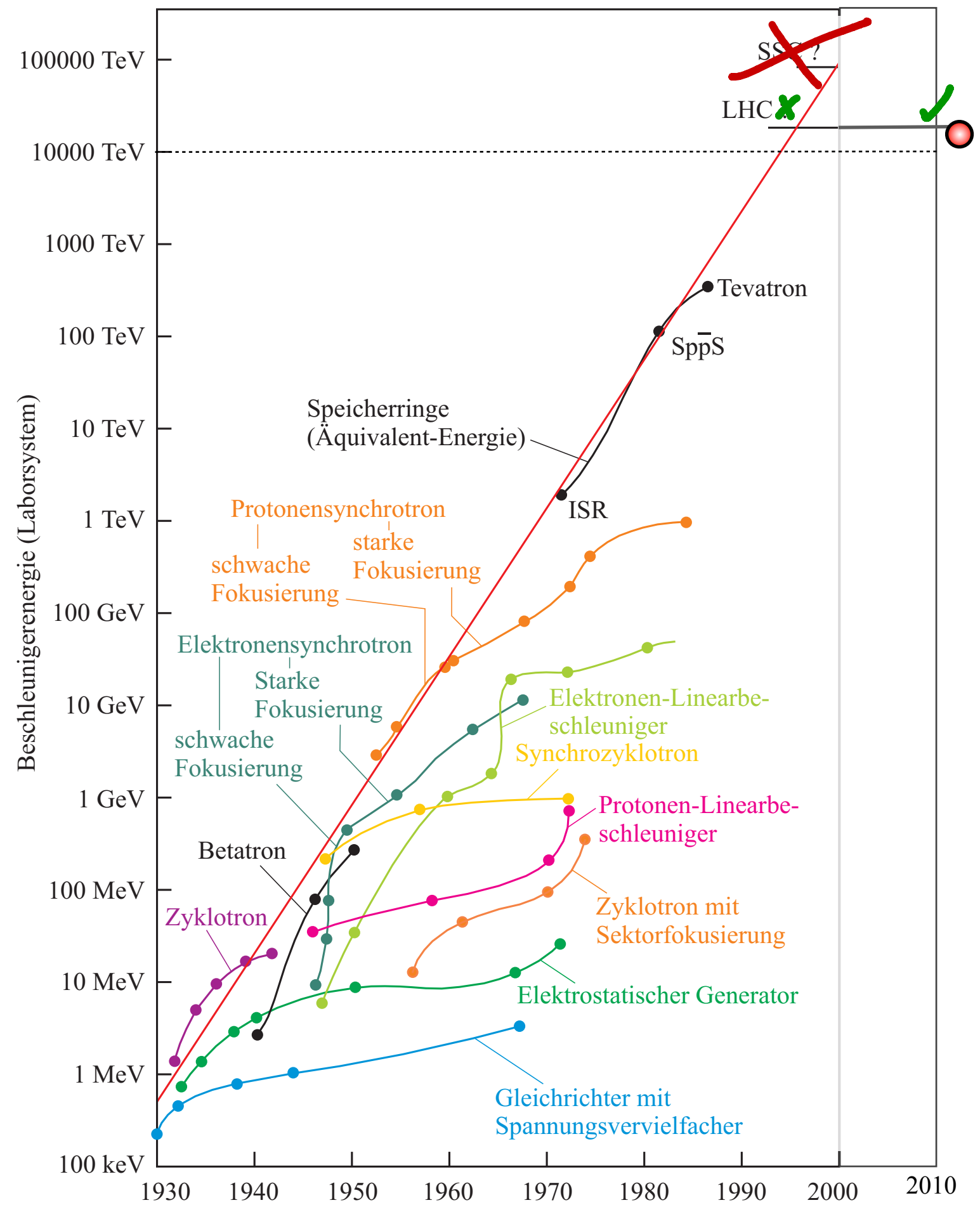
RF erfordert 100 MW

Nutzung der
Synchrotron-
Strahlung!

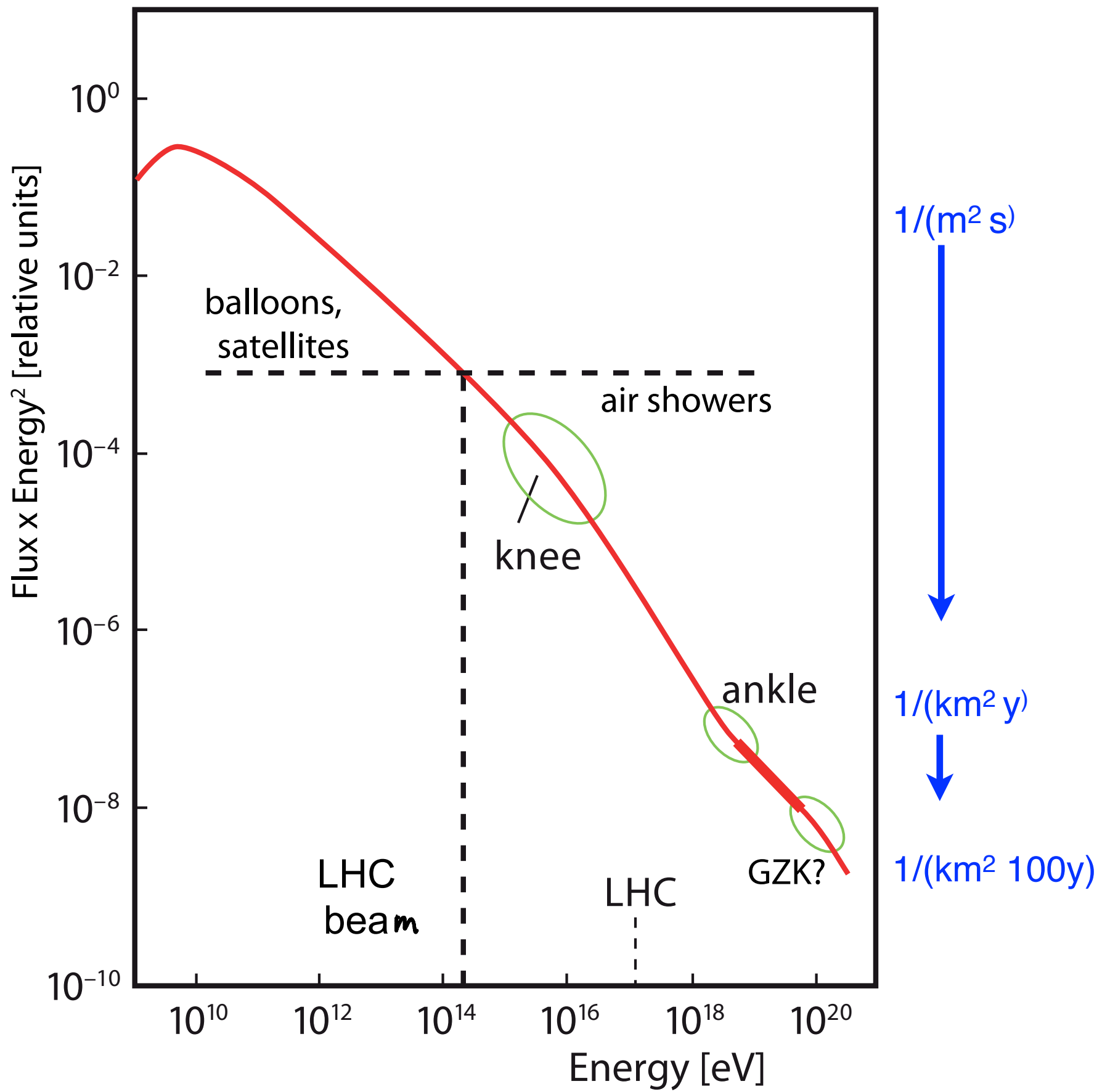
ANKA



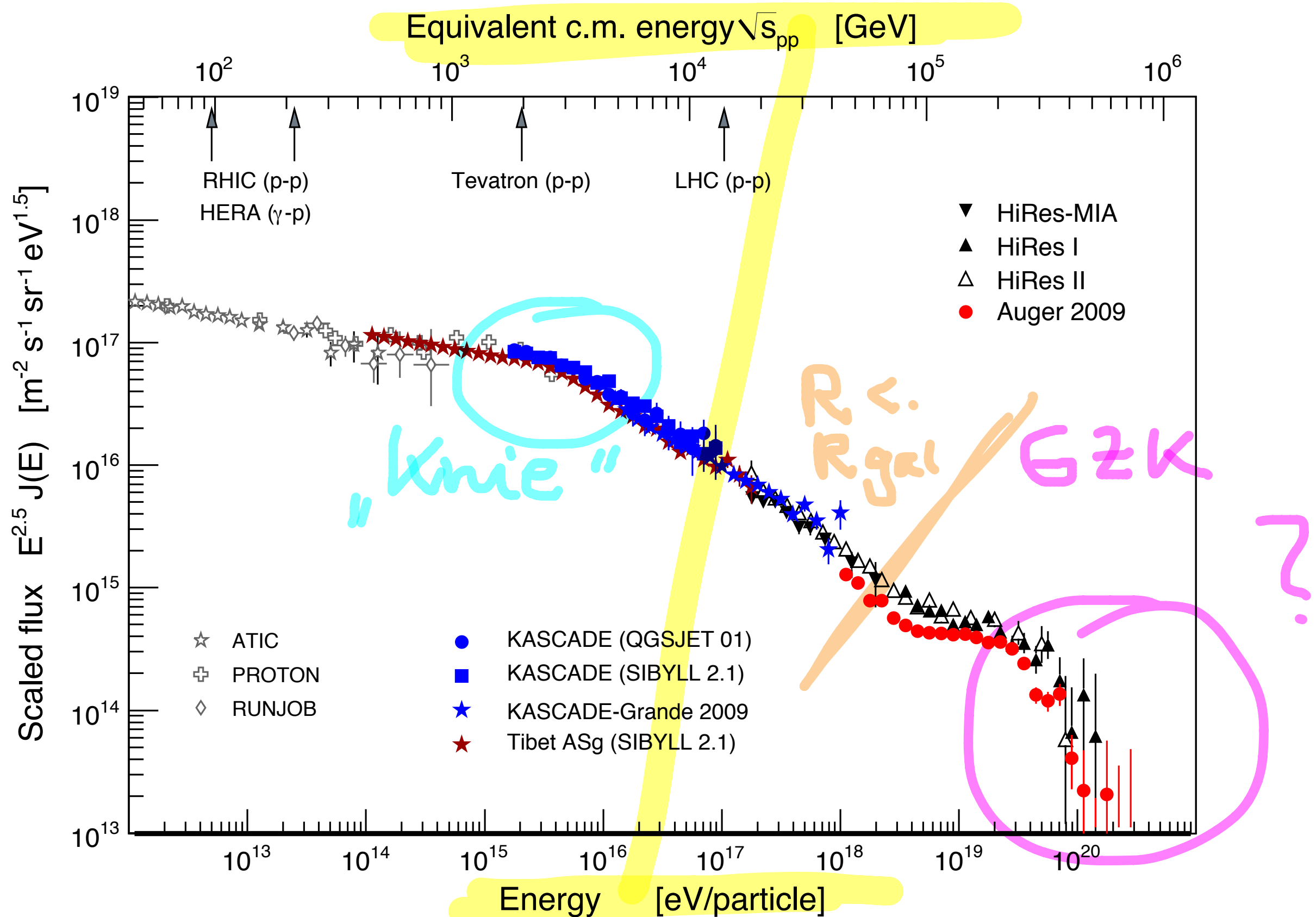
Livingston-Diagramm



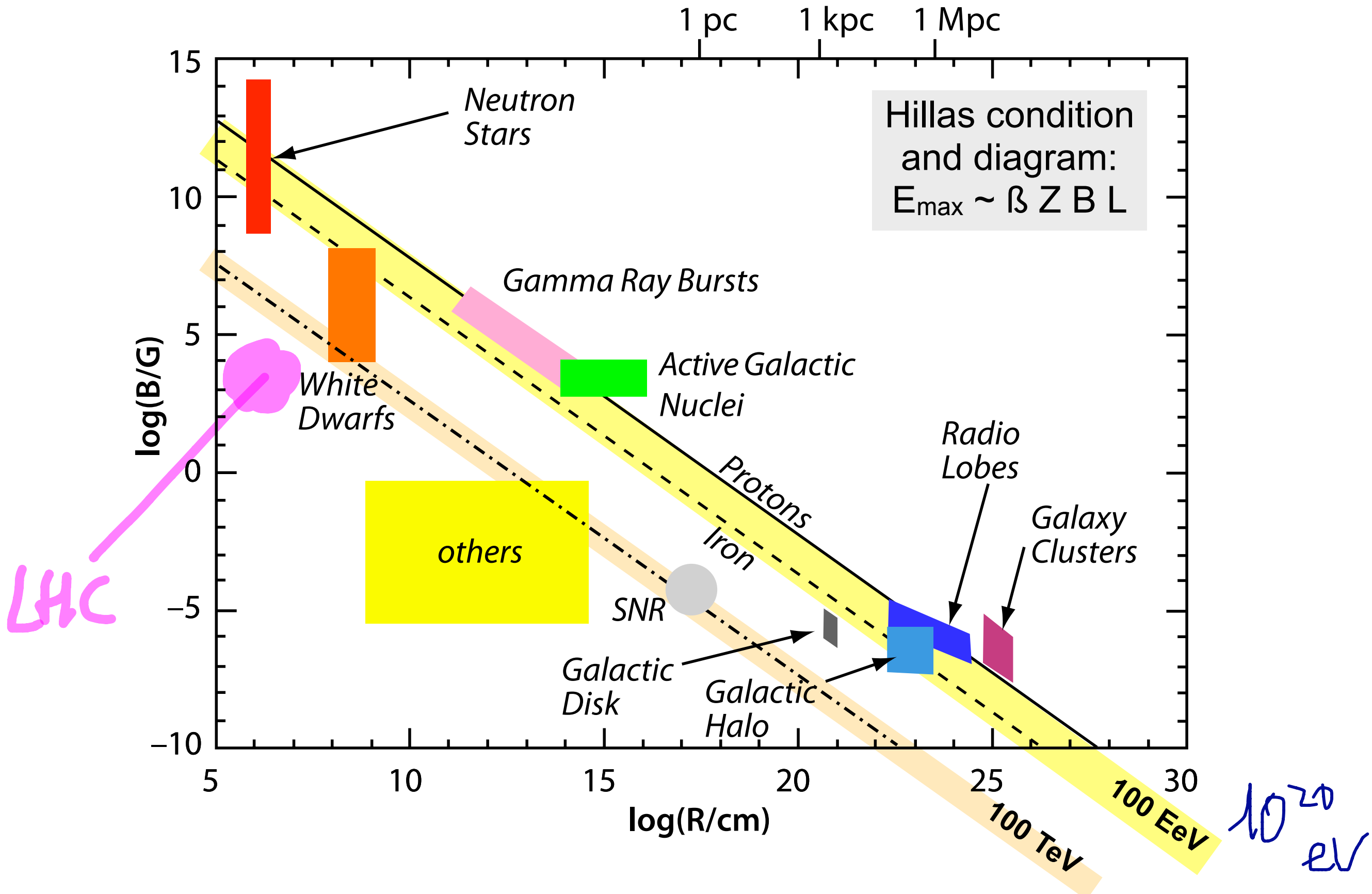
Energiespektrum der kosmischen Strahlung



Energiespektrum und Schwerpunktsenergie



Hillas-Diagramm



Galaktische kosmische Beschleuniger [R. Engel]

SN remnant 1006



Entfernung ~ 2.2 kpc

Beobachtete galaktische SN Explosionen:

- 1604 (Kepler)
- 1572 (Tycho)
- 1181 (Chinese astronomers)
- 1054 (Crab nebula)
- 1006 (Chinese and Arabian records)

Abschätzung der Gesamtrate:

~3 SN-Explosionen / 100 yrs
Kin. Energie der Ejekta: $\sim 10^{51}$ erg

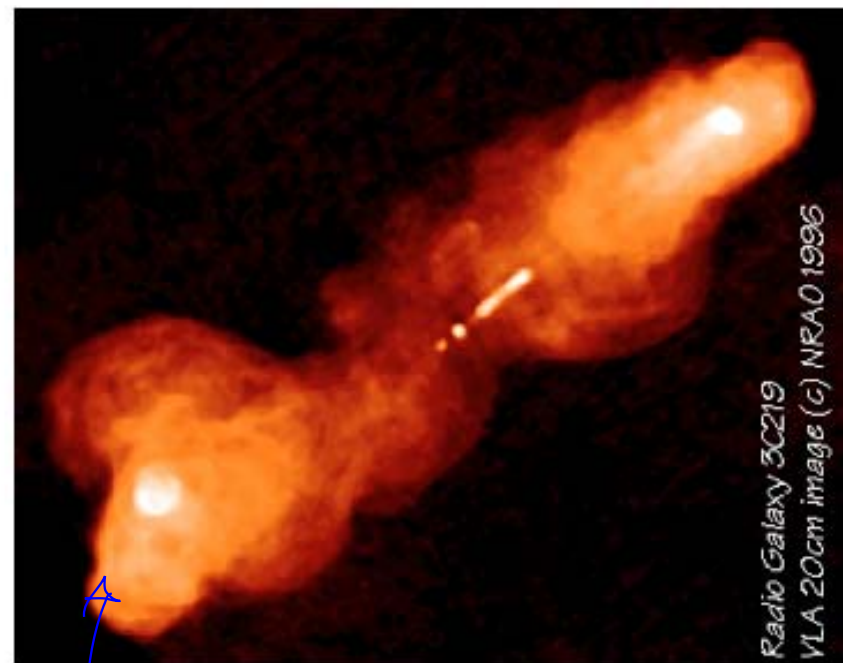
(1 erg = 0.1 μ J)

Allgemeine Energiebetrachtung:

- <10% der kin. Energie in Kosm. Strahlung
- Schockfronten für Beschleunigung
- Elementzusammensetzung

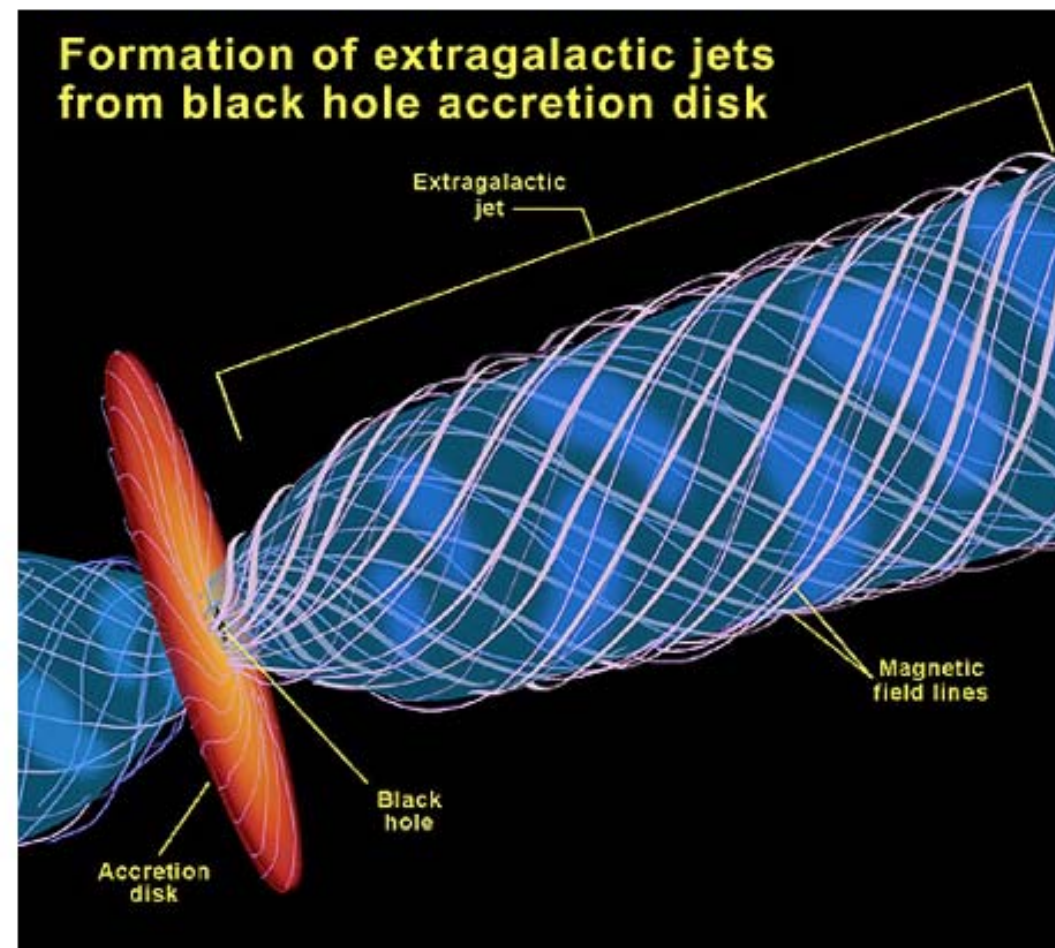
Extragalaktische kosmische Beschleuniger

[R. Engel]



Beschleunigung zu
höchster Energie?

Large Hadron Collider (LHC),
CERN, Genf; 27 km Umfang,
supraleitende Magnete



LHC-Beschleunigerring müsste den Umfang
der Merkur-Umlaufbahn haben!

Detektoren 1

Wechselwirkung von Teilchen und Strahlen mit Materie; experimentelle Methoden

Detektoren 2

Detektorbaukasten; Grossdetektoren; andere Anwendungen

Was wollen wir messen?

$$P = (E, \vec{p})$$

el. Signal

Energie: Teilchen stoppen, Ionisation
(E groß: „Schauer“)

Impuls $p = q \beta R$

→ Ortsmessungen!

lokalisierte Ionis.

β ← Ionisation, Cherenkov.

m ← E, p u a

q ← Ionisation u. a.

Systematik

